

各向异性磁介质中三维同轴电缆的自感

许碧惠 王建成 苏武浔 明 杨

(华侨大学信息科学与工程学院, 泉州 362011)

摘要 在高频信号的传输过程中, 传输线的分布电感和分布电容不容忽视. 以磁各向异性的毕奥-萨伐尔定律, 以及由此定律而求出的在各向异性磁介质中载流直导线磁场, 作为论述该研究的基础. 从而由公式 $\epsilon = L \left| \frac{dI}{dt} \right|$, 求出在各向异性磁介质中有一定横截面的同轴电缆的分布电感.

关键词 自感, 各向异性, 磁介质, 同轴电缆

中图分类号 TM 152.3

文献标识码 A

1 各向异性磁介质的磁场

1.1 各向异性磁介质的毕奥-萨伐尔定律

当各向异性磁介质的3个主轴与笛卡儿坐标 X, Y, Z 轴分别平行时, 各向异性磁介质的毕奥-萨伐尔定律为^[1,2]

$$\mathbf{B}(\mathbf{x}) = \frac{\mu}{4\pi} \frac{\mathbf{j} \times \mathbf{R}}{\left(\frac{R_1^2}{\mu_{11}} + \frac{R_2^2}{\mu_{22}} + \frac{R_3^2}{\mu_{33}} \right)^{\frac{3}{2}}} dV' \quad (1)$$

在式(1)中, 并矢 $\mu = \frac{\mu_{11}}{\mu_{22}\mu_{33}} \mathbf{e}_1 \mathbf{e}_1 + \frac{\mu_{22}}{\mu_{11}\mu_{33}} \mathbf{e}_2 \mathbf{e}_2 + \frac{\mu_{33}}{\mu_{11}\mu_{22}} \mathbf{e}_3 \mathbf{e}_3$, μ_{11} , 以及 μ_{22} 和 μ_{33} , 均为磁导率张量矩阵的元素; 而 $\mathbf{e}_1, \mathbf{e}_2, \mathbf{e}_3$, 则分别是3个直角坐标轴的单位矢量. \mathbf{R} 为源点 \mathbf{x}' 到场点 \mathbf{x} 的矢径, 即

$$\mathbf{R} = \mathbf{x} - \mathbf{x}' = R_1 \mathbf{e}_1 + R_2 \mathbf{e}_2 + R_3 \mathbf{e}_3.$$

若 I 代表电流, 则当电流作线分布时, 式(1)写成

$$\mathbf{B}(\mathbf{x}) = \frac{\mu}{4\pi} \frac{I d\mathbf{l} \times \mathbf{R}}{\left(\frac{R_1^2}{\mu_{11}} + \frac{R_2^2}{\mu_{22}} + \frac{R_3^2}{\mu_{33}} \right)^{\frac{3}{2}}} \quad (2)$$

式(1)和式(2)称为各向异性磁介质的毕奥-萨伐尔定律的笛卡儿坐标形式.

1.2 各向异性磁介质中载流直导线的磁场

如图1所示, 有位于 Z 轴, 载有电流 I , 长为 L 的直导线. 它在 Y 轴上距坐标原点为 a 的 p 点处, 产生的磁感应为强度为^[3]

$$B_y(x) = - \frac{\mu_{11}\mu_{22}}{4\pi\alpha} I(\sin\theta_2 - \sin\theta_1) e_1, \quad (3)$$

式中 $\theta_1 = \arctan\left(\frac{\mu_{22}}{\mu_{33}} \tan\beta_1\right)$, $\theta_2 = \arctan\left(\frac{\mu_{22}}{\mu_{33}} \tan\beta_2\right)$.

若载流直导线不是位于 Z 轴上, 而是分别位于 X 轴或 Y 轴上, 则距原点为 a , 位于 Z 轴或 X 轴上的 p 点产生的磁感应强度分别为

$$B_z(x) = - \frac{\mu_{22}\mu_{33}}{4\pi\alpha} I(\sin\theta - \sin\theta_1) e_2, \quad (4)$$

$$B_x(x) = - \frac{\mu_{11}\mu_{33}}{4\pi\alpha} I(\sin\theta_2 - \sin\theta) e_3. \quad (5)$$

在式(4)中, $\theta = \arctan\left(\frac{\mu_{33}}{\mu_{11}} \tan\beta_1\right)$, $\theta_1 = \arctan\left(\frac{\mu_{33}}{\mu_{11}} \tan\beta_2\right)$. 而式(5)的 $\theta = \arctan\left(\frac{\mu_{11}}{\mu_{22}} \tan\beta_1\right)$, $\theta_2 = \arctan\left(\frac{\mu_{11}}{\mu_{22}} \tan\beta_2\right)$. 若载流直导线为无限长时, 式(3)~(5)分别化为

$$B_y(x) = - \frac{\mu_{11}\mu_{22}}{2\pi\alpha} I e_1, \quad B_z(x) = - \frac{\mu_{22}\mu_{33}}{2\pi\alpha} I e_2, \quad B_x(x) = - \frac{\mu_{11}\mu_{33}}{2\pi\alpha} I e_3. \quad (6)$$

当介质为线性各向同性时, 有 $\mu_{11} = \mu_{22} = \mu_{33} = \mu$. 所以式(3)~(5)为同一式. 即 $B(x) = \frac{\mu I}{4\pi\alpha} (\sin\theta_2 - \sin\theta)$. 式(6)合并为 $B(x) = \frac{\mu I}{2\pi\alpha}$.

2 各向异性磁介质中同轴电缆的自感

设同轴电缆由半径为 R_1 的圆柱导体和半径为 R_2 ($R_2 > R_1$) 的薄圆筒导体组成, 沿 Z 轴放置, 如图2所示. 内外导体之间构成了闭合回路. 在圆柱导体中取一半径为 y_1 , 宽度为 Δy_i 的薄圆筒 T_i ($y_i < R_1$), 如图3所示. 它和外圆筒 R_2 之间构成了闭合回路. 设同轴电缆为无限长, 通有电缆 $I(t)$. 当 $y < R_1$ 时, 在 Y 轴上距坐标原点为 y 的 p 点处产生的磁感应强度为

$$B_1(x) = - \frac{\mu_{11}\mu_{22}}{2\pi y} \cdot \frac{\pi y^2}{\pi R_1^2} I e_1 = - \frac{\mu_{11}\mu_{22}}{2\pi R_1^2} I y e_1.$$

当 $R_1 < y < R_2$ 时, 在 Y 轴上距坐标原点为 y 的 p 点处产生的磁感应强度为

$$B_2(x) = - \frac{\mu_{11}\mu_{22}}{2\pi y} I e_1.$$

由此可得, 在薄圆筒 T_i 和外圆筒 R_2 之间单位长度上的磁通量为

$$\Phi = \int_{y_i}^{R_1} B_1 dy + \int_{R_1}^{R_2} B_2 dy = \left(-\frac{\mu_{11}\mu_{22}}{4\pi} + \frac{\mu_{11}\mu_{22}}{2\pi} \ln \frac{R_2}{R_1} \right) I - \frac{\mu_{11}\mu_{22}}{4\pi R_1^2} y_i^2 I. \quad (11)$$

所以, 由薄圆筒 T_i 和外圆筒 R_2 所构成的闭合回路, 其单位长度上自感电动势的大小为

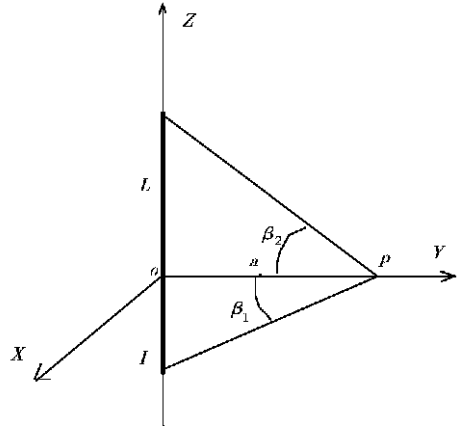


图1 载流直导线的磁场

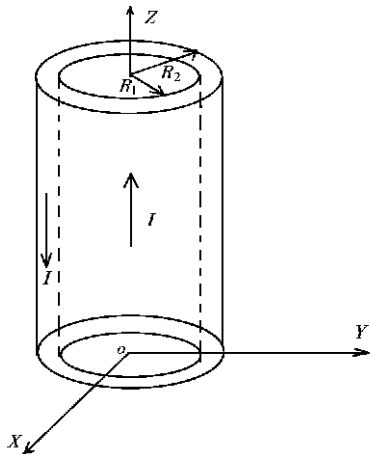


图2 同轴电缆

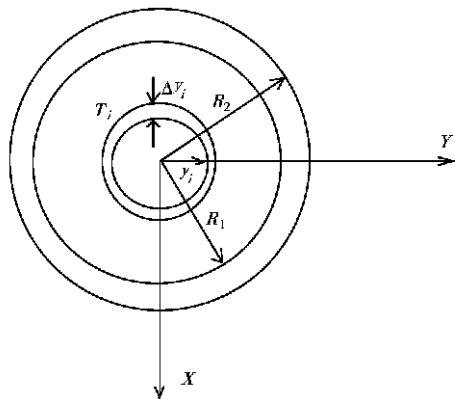


图3 同轴电缆的俯视图

$$\epsilon = \left| \frac{d\Phi}{dt} \right| = \left(-\frac{\mu_{11}\mu_{22}}{4\pi} + \frac{\mu_{11}\mu_{22}}{2\pi} \ln \frac{R_2}{R_1} \right) \left| \frac{dI}{dt} \right| - \frac{\mu_{11}\mu_{22}}{4\pi R_1^2} \left| \frac{dI}{dt} \right| y_i^2.$$

令 $\epsilon_0 = \left(-\frac{\mu_{11}\mu_{22}}{4\pi} + \frac{\mu_{11}\mu_{22}}{2\pi} \ln \frac{R_2}{R_1} \right) \left| \frac{dI}{dt} \right|$, $A = \left(-\frac{\mu_{11}\mu_{22}}{4\pi R_1^2} \right) \left| \frac{dI}{dt} \right|$. 则有

$$\epsilon = \epsilon_0 - A y_i^2. \quad (7)$$

由此可见, 薄圆筒 T_i 和外圆筒 R_2 构成的闭合回路中的自感电动势和薄圆筒 T_i 的半径 y_i 有关. 整个半径为 R_1 的圆柱导体, 可以看作由无数个不同半径的薄圆筒 T_i 所组成. 它们相互并联, 和外圆筒 R_2 构成了无数个闭合回路. 每个闭合回路上的自感电动势均满足式(9), 且各有电阻 R_1, R_2, \dots, R_N , 其等效电路如图4所示.

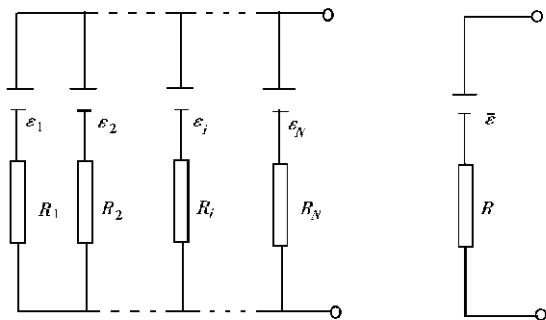
根据戴维南定理可得, 它们的等效自感电动势 $\bar{\epsilon}$ 为

$$\bar{\epsilon} = \frac{\sum_{i=1}^N \epsilon_i / \sum_{i=1}^N \frac{1}{R_i}}{N}, \quad (8)$$

其中 $\sum_{i=1}^N \frac{1}{R_i} = \frac{1}{R} = 1/\rho \frac{1}{\pi R_1^2} = \frac{\pi \epsilon_0^2}{\rho}$, ρ 为圆柱导体的电阻率, R 是圆柱导体单位长度上的电阻. 而

$$\sum_{i=1}^N \frac{\epsilon_i}{R_i} = \sum_{i=1}^N \frac{\epsilon_i}{\rho \frac{1}{\pi R_1^2}} = \sum_{i=1}^N \frac{2\pi}{\rho} \epsilon_i y_i \Delta y_i. \text{ 因而, 式(8)为}$$

$$\bar{\epsilon} = \frac{\lim_{N \rightarrow \infty} \sum_{i=1}^N \frac{\epsilon_i}{R_i}}{\lim_{N \rightarrow \infty} \sum_{i=1}^N \frac{1}{R_i}} = \frac{\int_0^{R_1} \frac{2\pi}{\rho} \epsilon y dy}{\frac{\pi R_1^2}{\rho}} = \frac{2}{R_1^2} \int_0^{R_1} \epsilon y dy.$$



(a) 简化前

(b) 简化后

图4 简化前后的等效电路图

再将式(7)代入上式,得 $\bar{\epsilon} = \frac{2}{R_1^2} \int_0^{R_1} (\epsilon_0 - A y^2) y dy = \epsilon_0 - \frac{1}{2} A R_1^2$. 最后将式 ϵ_0, A 代入上式,得

$$\bar{\epsilon} = \left(-\frac{\mu_{11}\mu_{22}}{8\pi} + \frac{\mu_{11}\mu_{22}}{2\pi} \ln \frac{R_2}{R_1} \right) \left| \frac{dI}{dt} \right|.$$

由 $\epsilon = L \left| \frac{dI}{dt} \right|$, 得沿 Y 轴方向的自感为

$$L = -\frac{\mu_{11}\mu_{22}}{8\pi} + \frac{\mu_{11}\mu_{22}}{2\pi} \ln \left(\frac{R_2}{R_1} \right), \quad (9)$$

其结果与文 [3] 有所差别. 这是文献 [3] 忽略了圆柱导体截面影响所致.

当介质为线性各向同性时, 有 $\mu_{11} = \mu_{22} = \mu_{33} = \mu$. 可得 $L = \frac{\mu}{8\pi} + \frac{\mu}{2\pi} \ln \left(\frac{R_2}{R_1} \right)$, 与公认结果一致^[4]. 显然, 若同轴电缆不是位于 Z 轴上, 而是分别位于 X 轴或 Y 轴上, 则式(9)中的 $\mu_{11}\mu_{22}$ 应分别由 $\mu_{22}\mu_{33}$ 和 $\mu_{11}\mu_{33}$ 替代. 这表明了磁介质为各向异性的影响.

参 考 文 献

- 1 陈 年, 王建成. 各向异性磁矢势 A 的微分方程及其解[J]. 华侨大学学报(自然科学版), 1996, 17(1): 90 ~ 97
- 2 王建成, 陈 年. 磁各向异性的毕奥-萨伐尔定律及其应用[J]. 华侨大学学报(自然科学版), 1989, 10(2): 125 ~ 132
- 3 王建成, 明 杨, 李 强等. 各向异性磁介质中传输线的自感[J]. 华侨大学学报(自然科学版), 2001, 22(1): 90 ~ 93
- 4 丁斌刚. 再谈“三维导体”的自感系数[J]. 大学物理, 2000, 19(11): 5 ~ 6

Self-Inductance of Three-Dimensional Coaxial-Cable in Anisotropically Magnetic Medium

Xu Bihui Wang Jiancheng Su Wuxun Ming Yang

(College of Info. Sci. & Eng., Huaqiao Univ., 362011, Quanzhou)

Abstract During the transmission of high-frequency signal, the distributed inductance and the distributed capacitance of transmission line should not be overlooked. The present work is based on Biot-Savart law of magnetic anisotropy and also on magnetic field of current-carrying straight conductor in anisotropically magnetic medium solved from this law. From formula $\epsilon = L \left| \frac{dI}{dt} \right|$, the authors solve the distributed inductance of coaxial-cable with definite cross section in anisotropically magnetic medium.

Key words self-inductance, anisotropy, magnetic medium, coaxial cable